

1.1 インパルス信号 $\delta(t)$ (デルタ関数)

◇ 定性的説明

最初に、図1を用いて、インパルス信号 $\delta(t)$ を定性的に説明する。図1に示した方形信号 ①は、信号幅(持続時間)が τ で、高さが $1/\tau$ 、よって、面積は1である。この信号の面積を保ったまま信号幅 τ を小さくしたものが ②の波形である。この信号の幅をさらに小さくし、 $\tau \rightarrow 0$ に近づけた極限が $\delta(t)$ であると考え、 $\delta(t)$ は、時刻0でのみ値をもつ信号となり、また、その値(波形の高さ) $1/\tau$ は無限大となる。

$$\delta(t) = \begin{cases} \infty & (t=0) \\ 0 & (t \neq 0) \end{cases} \quad (1)$$

これがインパルス信号の定性的イメージである。

◇ 数学的定義

インパルス信号(デルタ関数) $\delta(t)$ は、ある関数 $f(t)$ に対して、値 $f(0)$ を割り当てる超関数として定義される[1]。式で表すと、

$$\int_{-\infty}^{\infty} \delta(t) \cdot f(t) dt = f(0) \quad (2)$$

【超関数】: 関数は、ある数値(変数)に対して数値(変数)を割り当てる作用を持つ。一方、超関数(または汎関数)は、ある「関数」に作用して「数値」を与える作用素。

式(2) から、次の重要な性質が導かれる。まず、 $f(t)=1$ の場合、

$$\int_{-\infty}^{\infty} \delta(t) dt = 1 \quad (3)$$

となり、 $\delta(t)$ の面積が1であることが示される。

次にインパルス信号 $\delta(t)$ の周波数成分を知るために、 $f(t)=\exp(-j\omega t)$ とおいて、 $\delta(t)$ のフーリエ変換 $\Delta(\omega)$ を考えると、

$$\begin{aligned} \Delta(\omega) &= \int_{-\infty}^{\infty} \delta(t) \cdot e^{-j\omega t} dt \\ &= e^{-j\omega 0} = 1 \end{aligned} \quad (4)$$

これより、インパルス信号 $\delta(t)$ は、すべての周波数成分を均一に有することがわかる。

◇ インパルス応答と周波数特性

インパルス信号 $\delta(t)$ をある線形系に入力したときの出力信号(インパルス応答) $h(t)$ と表す。

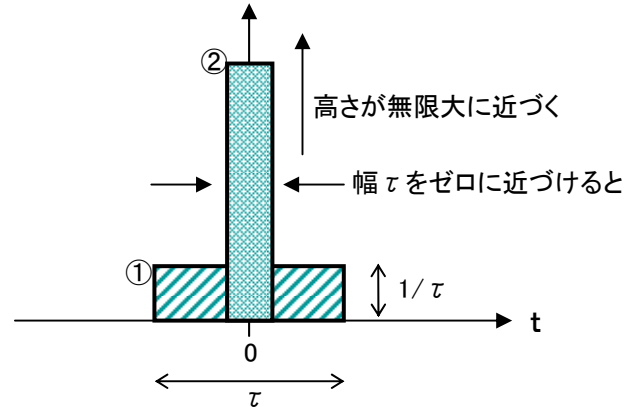


図1. インパルス信号の定性的説明



図2. インパルス応答 $h(t)$

一方、線形系の周波数特性は、出力信号のスペクトルと入力信号のスペクトルの比と定義される。

$$\text{周波数特性} = \frac{\text{出力信号スペクトル}}{\text{入力信号スペクトル}} \quad (5)$$

出力信号 $h(t)$ のスペクトル(フーリエ変換)を $H(\omega)$ と表し、また、入力信号 $\delta(t)$ のスペクトル $\Delta(\omega)$ は、式(4)の関係より、1なので、

$$\text{周波数特性} = \frac{H(\omega)}{\Delta(\omega)} = H(\omega) \quad (6)$$

となる。すなわち、線形系の周波数特性は、そのインパルス応答 $h(t)$ のフーリエ変換より求められることが示された。

◇ 離散系のインパルス信号

離散系ではインパルス信号 $\delta(n)$ (n : 離散時間)は、次式で定義される。

$$\delta(t) = \begin{cases} 1 & (n=0) \\ 0 & (n \neq 0) \end{cases} \quad (6)$$

この式は、式(1)の近似ではなく、アナログのインパルス信号 $\delta(t)$ を帯域制限して標本化した結果として得られる信号である。

[1] A. パポリス著、大槻喬、ほか訳、工学のための応用フーリエ積分、オーム社、1967。

2.1 量子化雑音のパワー

NビットAD変換の量子化雑音のパワーは、
AD変換器の最大振幅の正弦波を基準にして

$$-6N - 2 \text{ [dB]} \quad (1)$$

一般的な16ビットAD変換の場合は、-98dB

量子化とは、アナログ信号を標本化して得られた実数値(右図の黒丸)を、量子化単位 Δ を単位とした整数(右図の白丸)で表す操作である。その整数化の操作の際には四捨五入を行う(右図の赤矢印)ので、切捨て、切り上げの分が誤差となる。

この誤差を量子化誤差と呼び、これを信号と見たとき、これを量子化雑音と呼ぶ。

一般的な信号に対する量子化誤差はランダムな雑音で(図2)、その振幅は $-\Delta/2 \sim \Delta/2$ の間で一様分布する(図3)。

この量子化雑音のパワーは $\Delta^2/12$ である。

(証明)

この雑音の平均値はゼロ、パワーは振幅の確率的分散と等しくなる。雑音振幅を x と表すと、確率密度 $p(x)$ は $-\Delta/2 \sim \Delta/2$ の間で一定値、 $1/\Delta$ となる。このとき分散は、

$$\begin{aligned} \int_{-\Delta/2}^{\Delta/2} x^2 \cdot p(x) dx &= \frac{1}{\Delta} \int_{-\Delta/2}^{\Delta/2} x^2 dx \\ &= \frac{1}{\Delta} \left[\frac{x^3}{3} \right]_{-\Delta/2}^{\Delta/2} = \frac{1}{3\Delta} 2 \cdot \left(\frac{\Delta}{2} \right)^3 = \frac{\Delta^2}{12} \end{aligned}$$

証明終わり

さて、NビットのAD変換器でデジタル化した信号の最大値・最小値が ± 1 である場合、 $-1 \sim 1$ までの範囲を 2^N 等分することになるので、量子化単位は、 $\Delta = 2 / 2^N = 2^{-(N-1)}$ となる。よって、AD変換器の最大振幅(=1)の正弦波のパワー(=1/2)を基準としたときの量子化雑音のパワーは、

$$\begin{aligned} 10 \cdot \log_{10} \left\{ \left(\frac{\Delta^2}{12} \right) / (1/2) \right\} &= 10 \cdot \log_{10} \left\{ \left(2^{-(N-1)} \right)^2 / 6 \right\} \\ &= 10 \cdot \log_{10} \left(2^{-2N} \cdot 4/6 \right) = -6.02N - 1.76 \text{ dB} \approx -6N - 2 \text{ dB} \end{aligned}$$

N=16の場合、約-98.1dB

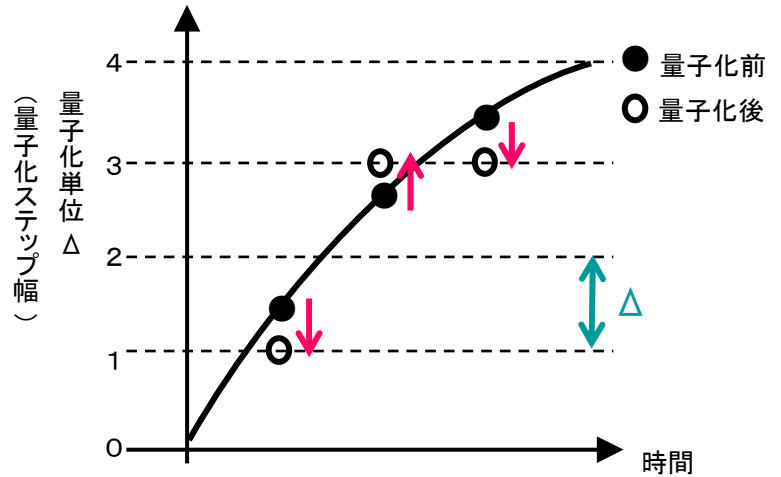


図1 量子化

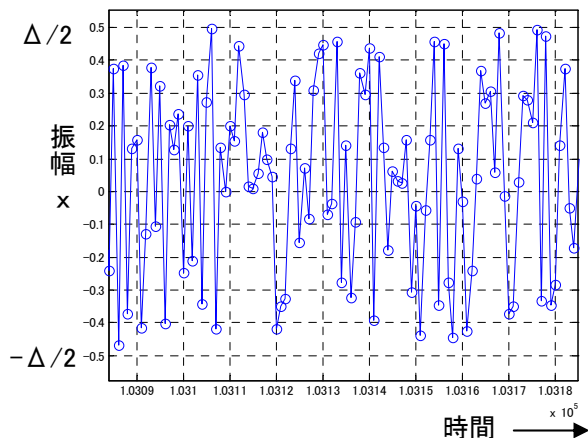


図2 量子化雑音の例

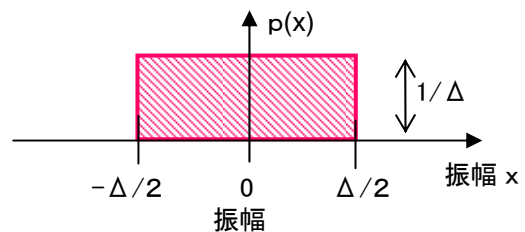


図3 量子化雑音の振幅分布
(振幅の確率密度関数 $p(x)$)

2.2 量子化雑音の周波数スペクトル (1/2: 一様雑音の場合)

N ビットAD変換の量子化雑音のスペクトルは、一般には白色となり、その平均的な大きさは、AD変換器の最大振幅の正弦波を基準にして

$$-6N + 3 - 10 \cdot \log_{10}(nwind) \text{ [dB]} \quad (1)$$

ただしスペクトルは、長さ nwind のハニング窓を用いて求めたものとする。

◇ スペクトルの最大値は実験的に、おおよそ 平均値 + 10dB

◇ 例えば、図1は、16ビットのAD変換器でADしたときの周波数スペクトルで、分析窓長 nwind が 2^{16} のときの結果である。青が正弦波、赤が量子化雑音のスペクトルである。雑音スペクトルの平均値は、式(1)に、 $N=16$, $nwind=2^{16}$ を代入した値 -141 dBとなっている。このとき、雑音スペクトルの最大値は、平均値より、10dB程度大きな値となっている。図2に、雑音の周波数成分の大きさのヒストグラムを示す。雑音スペクトルの多くは -140 , -145 dB 程度の値を持ち、最大値は、130dB程度になっている。

◇ 任意の窓関数 $w(n)$ に対して、式(1)は

$$-6N - 2 - 10 \cdot \log_{10} \left(\frac{2 \cdot \sum_{n=0}^{nwind-1} w^2(n)}{\left(\sum_{n=0}^{nwind-1} w(n) \right)^2} \right) \text{ [dB]} \quad (2)$$

◇ 式(2)、式(1)の導出

3.2項 式(4) を利用する。3.2項のスペクトル正規化式(1) は、正弦波の時間領域のパワーと周波数パワースペクトルのピーク値を一致させる。よって、最大振幅正弦波の時間領域のパワーを P_s 、周波数パワースペクトルのピーク値 P_n とすると、 $P_s = P_n$ 。次に、この正規化を用いた場合の雑音パワースペクトルの周波数平均の期待値を P_{N0} と表す。 $P_s = P_n$ の関係と、3.2項 式(4)より、

$$\frac{P_{N0}}{P_s} = \frac{2 \cdot \sum_{n=0}^{nwind-1} w^2(n)}{\left(\sum_{n=0}^{nwind-1} w(n) \right)^2} \cdot \frac{P_n}{P_s} \quad (3)$$

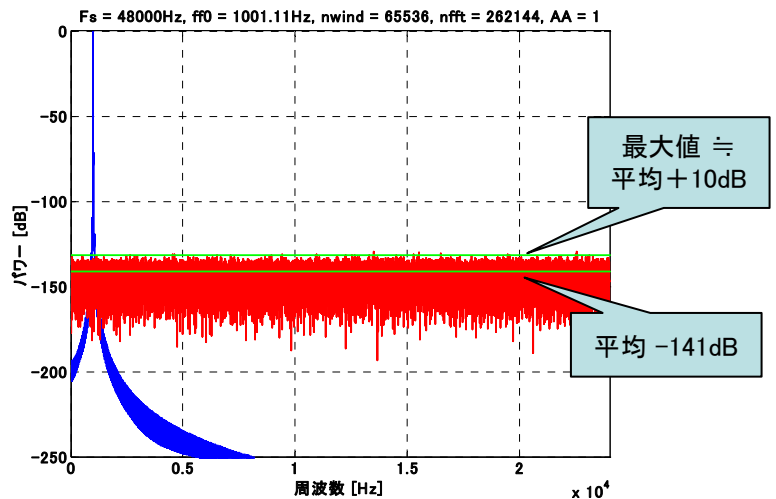


図1 周波数スペクトルの例
(青: 最大振幅の正弦波、赤: 量子化雑音)
(サンプリング周波数 = 48kHz, 正弦波の周波数 = 1001.11Hz, 窓長 nwind = 2^{16} , DFT長 = 2^{20})

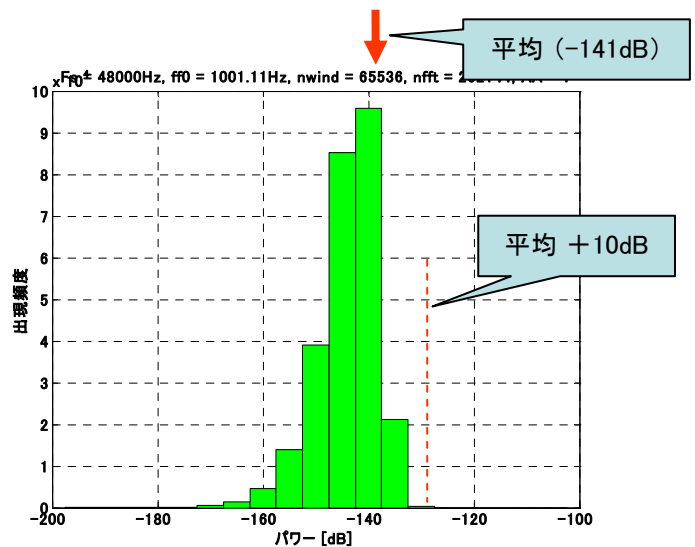


図2 図1の量子化雑音の各周波数成分の大きさ(パワー)のヒストグラム

左辺は、最大振幅正弦波のパワースペクトル最大値で正規化した雑音パワースペクトルの平均値である。右辺 P_n/P_s は、2.1項 式(1)で表されることより、式(2)を得る。なお、式(3)の左辺において、スペクトルの正規化項は分子分母に共通に含まれるので、正規化方法には依存しない値となっている。本項式(1) は、式(2)に、3.2項式(5) の関係を代入して得られる。

2.2 量子化雑音の周波数スペクトル (2/2: 周期性を持つ場合)

ADする周期信号の基本周波数 f が

$$f = \frac{n}{m} \cdot F_s \quad (1)$$

n, m : 整数、 F_s : 標本化周波数
と表される場合、その量子化雑音は、 F_s/m を
基本周波数とする周期性雑音となる。

- ・ 式(1)の n/m は約分されているものとする

◇ 一般には、周期信号が式(1)を満たす場合は
少ないと思われるが、人為的な周波数設定の
場合には、区切りの良い設定、例えば、 $F_s =$
 48kHz 、 $f = 1\text{kHz}$ などと定める場合は良く見ら
れる。そのような条件で、特に低レベルの正弦波
信号を分析する場合には、周期性量子化雑音の
存在に注意を払う必要がある。

- ・ 正弦波をADする場合、周期性量子化雑音のスペ
クトルは非線形歪のように、正弦波の周波数の倍
周波数や約数周波数の成分を持つ(図1、図2)。
各周波数成分の大きさは、正弦波の周波数や振幅
に依存する。

- ・ (時間領域で求めた)周期性量子化雑音のパワー
 P_n は、一様雑音の場合とほぼ等しい。
(ADが16ビットの場合、最大振幅正弦波と比べ
 $P_n \doteq -98\text{dB}$)

- ・ しかし、周期性量子化雑音のスペクトルは離散的
なので、個々の周波数成分の大きさは一様雑音と
比べて大きくなる(図1の例では、11kHz成分が最大で、
最大振幅正弦波のピークと比べ -103dB)。また、
その大きさは一様雑音の場合(2.2項1/2式(1))と違
って、窓長 $nwind$ には依存しない。

- ・ 式(1)の条件を言い換えると、信号の基本周期 $1/f$ と
標本化周期 $1/F_s$ とが公倍数を持つ場合、
 $n/f = m/F_s$
に相当する。

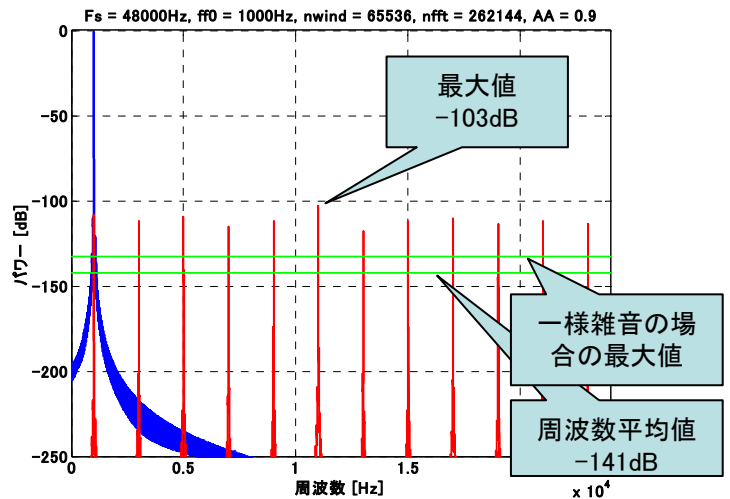


図1 周期性を持った量子化雑音の周波数スペクトルの例
(青: 最大振幅の正弦波、赤: 量子化雑音)
(正弦波の周波数 $f = 1000\text{Hz}$ 、AD変換器ビット数 $N = 16$
サンプリング周波数 $F_s = 48\text{kHz}$ 、窓長 $nwind = 2^{16}$ 、
正弦波の振幅 $= 0.9$ 、縦軸は最大振幅正弦波で正規化)
 $f = (1/48) F_s$
→ 量子化雑音の基本周波数 $= F_s/48 = 1000\text{Hz}$

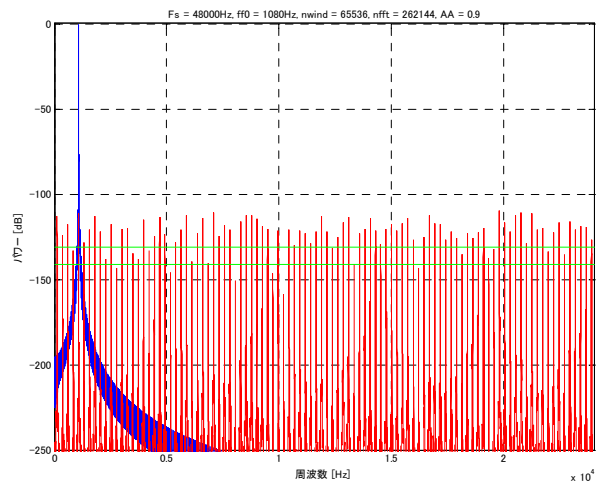


図2 周期性を持った量子化雑音の周波数スペクトルの例
(青: 最大振幅の正弦波、赤: 量子化雑音)
(正弦波の周波数 $f = 1080\text{Hz}$ 、AD変換器ビット数 $N = 16$
サンプリング周波数 $F_s = 48\text{kHz}$ 、窓長 $nwind = 2^{16}$ 、
正弦波の振幅 $= 0.9$ 、縦軸は最大振幅正弦波で正規化)
 $f = (9/400) F_s$
→ 量子化雑音の基本周波数 $= F_s/400 = 120\text{Hz}$

3.1 一般的な周波数パワースペクトルの求め方

- ① 信号 $s(n)$ を窓長 $nwind$ で切り出し(図1)、窓関数 $w(n)$ (図2) を乗算する(図3)。
- ② ①の結果に、長さ $nwind$ (または、それ以上)の 0 を付加する(注1) (図4)。
- ③ DFT(FFT)を計算する。

$$X(k) = \sum_{n=0}^{N-1} x(n) \cdot e^{-j2\pi kn/N} \quad (1)$$

ただし、 n : 離散時間、 k : 離散周波数、 $X(k)$: 周波数スペクトル、 N : DFT 点数、である。

- ④ 必要に応じてスペクトルの正規化を行う。例えば、得られた周波数スペクトル $X(k)$ を

$$\frac{\sqrt{2}}{\sum_{n=0}^{nwind-1} w(n)} X(k)$$

と正規化すれば、振幅が ± 1 (=パワー(波形の2乗平均値)が 0.5)の正弦波のスペクトルピーク値が -3dB と表示される(図5)。
(→ 3.2 周波数スペクトル表示の正規化)

(注1) パワースペクトルを求める時は、スペクトルを2乗するので、情報の損失を防ぐために $nwind$ と同長の 0 を付加する必要がある(振幅スペクトルを求める場合も同様である)。さらに、視覚的に誤解を生じないスペクトル表示を得るためには、(メモリー・計算時間などに余裕があれば)より多くのゼロ(例えば、3倍、7倍)を付加することが望ましい。

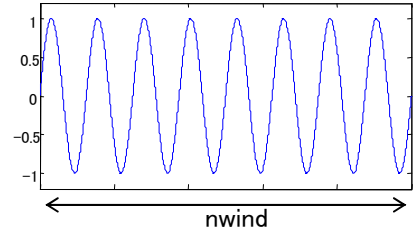


図1 信号 $s(n)$

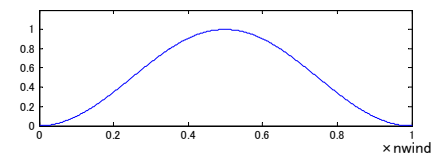


図2 時間窓の例 : ハニング窓 $w(n)$

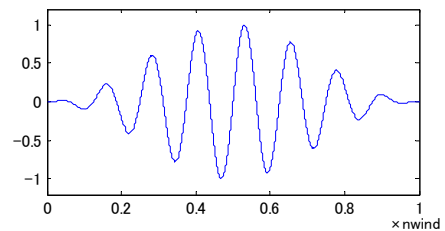


図3 窓関数を乗じた正弦波 $s(n) \cdot w(n)$

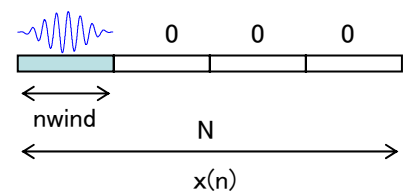


図4 3倍の長さのゼロの付加をした信号 $x(n)$

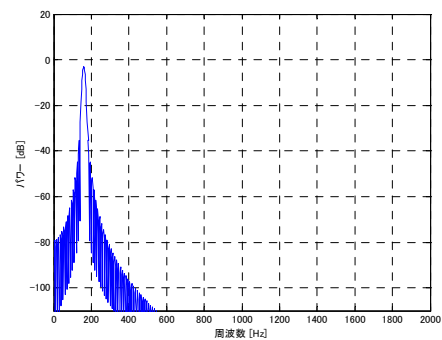


図5 正規化した正弦波の周波数スペクトル (振幅 ± 1 の正弦波のピーク値が -3 dB と表示される)

3.2 周波数スペクトル表示の正規化について (1/3)

信号のDFT(離散フーリエ変換、FFT とも言う)の計算結果は、窓長(利用するデータ数)や窓関数の形によって大きさが異なる。したがって、周波数スペクトル表示において、縦軸に意味を持たせたい場合には正規化が必要である。

① 正弦波(離散スペクトル)に注目した正規化

DFTスペクトル $X(k)$ に対し

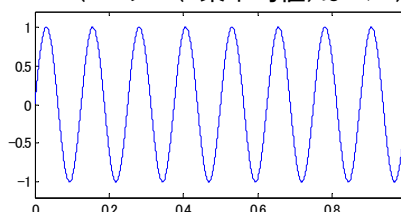
$$\frac{\sqrt{2}}{\sum_{n=0}^{nwind-1} w(n)} X(k) \quad (1)$$

n: 離散時間
k: 離散周波数
w(n): 窓関数
nwind: 窓長

と正規化。

⇒ パワーが1の正弦波のスペクトルピーク値が 0dB と表示。

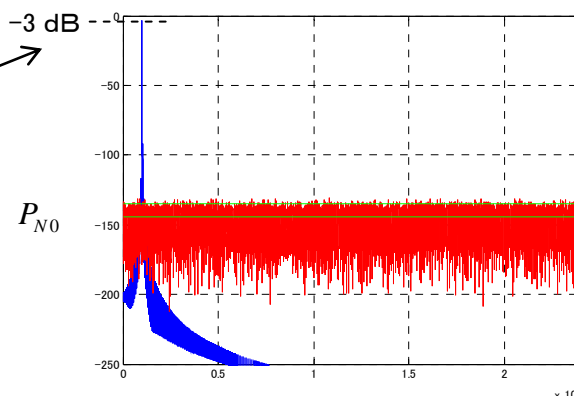
振幅が±1の正弦波 $x(n)$
(パワー(2乗平均値)は 1/2)



窓をかけ、ゼロをつめて
DFT (→ 3.1 一般的な...)

(注1) ゼロづめによる補間(→3.1)が不十分な場合は、
0 dB を少し下回る場合がある

⇒ 振幅が±1の正弦波 $x(n)$ (パワーは 1/2)の
スペクトルピーク値は -3 dB と表示される。



・ 例えば、ハニング窓の場合、

$$\sum w(n) = (1/2) \cdot nwind \quad (2)$$

であるので、正規化式は、

$$\frac{2\sqrt{2}}{nwind} X(k) \quad (3)$$

・ この正規化式を用いた場合、雑音などの連続スペクトル成分は窓長に逆比例して低下する。時間領域での雑音のパワーが P_n のとき、スペクトル表示に現れる雑音パワーの周波数平均の期待値 P_{N0} は

$$P_{N0} = \frac{2 \cdot \sum_{n=0}^{nwind-1} w^2(n)}{\left(\sum_{n=0}^{nwind-1} w(n) \right)^2} \cdot P_n \quad (4)$$

となる。ハニング窓の場合、

$$\sum w(n) = (1/2) nwind, \quad \sum w^2(n) = (3/8) nwind \quad (5)$$

であるので、

$$P_{N0} = \frac{3}{nwind} \cdot P_n \quad (6)$$

② 連続スペクトルを持つ定常信号(または雑音)に注目した正規化

DFTスペクトル $X(k)$ に対し

$$\frac{1}{\sqrt{\sum_{n=0}^{nwind-1} w^2(n)}} X(k) \quad (7)$$

と正規化。

⇒ パワーが1の連続スペクトル信号(または雑音)の
パワースペクトルの周波数平均が0dB となる
ように表示される。

DFT で計算されたパワースペクトルにおいて、周期信号成分(離散スペクトル)は $(nwind)^2$ に比例し、定常な連続スペクトル信号成分(定常ランダム雑音を含む)は $nwind$ に比例し、インパルス応答などの有限時間信号は $nwind$ に依存しない。①②の正規化は、この性質を反映している。(各 \sum 項は $nwind$ に比例)

3.2 周波数スペクトル表示の正規化について (2/3: 結果の導出)

◇ 式(1)の正規化定数の導出
振幅1の正弦波

$$\sin(2\pi K n / N) \quad (8)$$

を考える。ただし、K, N は整数とする (NサンプルでK周期を持つ正弦波)

このとき、長さ nwind の窓 w(n) で切り出した信号 x(n) は、

$$x(n) = w(n) \cdot \sin(2\pi K n / N) \quad (9)$$

と表される。

この、長さが nwind の信号 x(n) にゼロを付加して長さ N の信号としたものを改めて x(n) とおく。そして x(n) に N点DFTを行う。

DFT の定義 および 式(9) より、離散周波数 K の振幅スペクトル $|X(K)|$ (この正弦波スペクトルのピーク値) は、

$$\begin{aligned} |X(K)| &= \left| \sum_{n=0}^{N-1} x(n) \cdot e^{-j2\pi K n / N} \right| \\ &= \left| \sum_{n=0}^{nwind-1} \{w(n) \cdot \sin(2\pi K n / N)\} \cdot e^{-j2\pi K n / N} \right| \\ &= \left| \sum_{n=0}^{nwind-1} w(n) \cdot \frac{1}{j2} \cdot (e^{j2\pi K n / N} - e^{-j2\pi K n / N}) \cdot e^{-j2\pi K n / N} \right| \\ &= \left| \frac{1}{j2} \cdot \left(\sum_{n=0}^{nwind-1} w(n) \left(1 - \sum_{n=0}^{nwind-1} e^{-j4\pi K n / N} \right) \right) \right| \\ &= \frac{1}{2} \cdot \left| \sum_{n=0}^{nwind-1} w(n) - \sum_{n=0}^{nwind-1} w(n) \cdot e^{-j4\pi K n / N} \right| \\ &\approx \frac{1}{2} \left| \sum_{n=0}^{nwind-1} w(n) \right| = \frac{1}{2} \left(\sum_{n=0}^{nwind-1} w(n) \right) \quad (10) \end{aligned}$$

となる。ただし、第2の等式は、x(n) の nwind 点以降は 0であることを反映し、また、第6の近似関係は、K=0、K=N/2を除いて、

$$\sum_{n=0}^{nwind-1} w(n) \cdot e^{-j4\pi K n / N} \approx 0 \quad (11)$$

であることを利用している。そして、第7の等式は、

$$w(n) > 0$$

による。

これより、スペクトルを

$$\frac{\sqrt{2}}{\sum_{n=0}^{nwind-1} w(n)} X(k) \quad (12)$$

と正規化をすれば、式(10)より、

$$\left| \frac{\sqrt{2}}{\sum_{n=0}^{nwind-1} w(n)} X(K) \right|^2 = \frac{1}{2} \quad (13)$$

となる。すなわち、振幅が1の正弦波のスペクトルピーク値は -3 dB (1/2) となる。

3.2周波数スペクトルの大きさの正規化について (3/3: 結果の導出)

◇ 式(4)の雑音スペクトル成分の導出

信号に含まれる雑音成分は定常確率信号 (時間 n によって統計量は変わらない信号) であると仮定して、 $n(n)$ と表す。そして、そのパワー(2乗期待値)を P_n と表す。

$$P_n = E\{n^2(n)\} \quad (14)$$

また、信号 $x(n)$ の2乗和とそのDFT $X(k)$ の2乗和との間に、次式の関係が知られている(注1)。

$$\sum_{k=0}^{N-1} |X(k)|^2 = N \cdot \sum_{n=0}^{N-1} |x(n)|^2 \quad (15)$$

ここで、長さが $nwind$ の時間窓 $w(n)$ を用いて信号を切り出し、ゼロを付加して N 点でDFTしたと考える。そのときの雑音成分のスペクトル $X_n(k)$ は、

$$X_n(k) = \sum_{n=0}^{nwind-1} \{w(n) \cdot n(n)\} \cdot e^{-j2\pi kn/N} \quad (16)$$

式(15)より、その2乗和は、

$$\sum_{k=0}^{N-1} |X_n(k)|^2 = N \cdot \sum_{n=0}^{nwind-1} |w(n) \cdot n(n)|^2 \quad (17)$$

と表される。ここで、簡単のため

$$S_w = \sum_{n=0}^{nwind-1} w(n) \quad S_{w^2} = \sum_{n=0}^{nwind-1} w^2(n) \quad (18)$$

と表すことにし、 $X_n(k)$ を式(1)で正規化したときのパワースペクトル(振幅スペクトルの二乗)の周波数平均の期待値を P_{N0} と表すと

$$\begin{aligned} P_{N0} &= E\left\{ \frac{1}{N} \cdot \sum_{k=0}^{N-1} \left| \frac{\sqrt{2}}{S_w} \cdot X_n(k) \right|^2 \right\} \\ &= \frac{1}{N} \cdot \left(\frac{\sqrt{2}}{S_w} \right)^2 \cdot E\left\{ \sum_{k=0}^{N-1} |X_n(k)|^2 \right\} \end{aligned} \quad (19)$$

式(17)を代入すると 

◇ 式(7)の導出

式(19)において、式(1)の正規化を行わないと、 $\sqrt{2}/S_w$ の項がなくなり、式(20)は、 $P_{N0} = S_{w^2} \cdot P_n$ となる。

$P_{N0} = P_n$ とするためには、 $X_n(k)$ を $\sqrt{S_{w^2}}$ で除すればよい。($P_{N0} \rightarrow P_{N0}/S_{w^2}$ となるので)

$$\begin{aligned} P_{N0} &= \frac{1}{N} \cdot \frac{2}{S_w^2} \cdot E\left\{ N \cdot \sum_{n=0}^{nwind-1} |w(n) \cdot n(n)|^2 \right\} \\ &= \frac{2}{S_w^2} \cdot \sum_{n=0}^{nwind-1} w^2(n) \cdot E\{n^2(n)\} \\ &= \frac{2}{S_w^2} \cdot P_n \cdot \sum_{n=0}^{nwind-1} w^2(n) \\ &= \frac{2}{S_w^2} \cdot P_n \cdot S_{w^2} \\ &= \frac{2 \cdot S_{w^2}}{S_w^2} \cdot P_n \end{aligned} \quad (20)$$

このように、スペクトル表示上の雑音レベルは窓長 $nwind$ に逆比例することがわかる。一般的なフーリエ積分では、雑音の大きさは窓長に依存しないのに対し、正弦波のスペクトルは窓長が長くなるにつれて値が大きくなって δ 関数に近づいていく。ここでは、正弦波のスペクトルの大きさが窓長によって変化しないように式(1)の正規化を行ったので、窓長に逆比例して雑音レベルが低下する。

(注1)

式(15)は、パーセヴァル (Parseval) の関係 [1, p.126] と呼ばれており、一般的なDFTの定義 [1, p.102]

$$X(k) = \sum_{n=0}^{N-1} x(n) \cdot e^{-j2\pi kn/N} \quad (21)$$

に対応している。

DFT の定義としては、このほかに次式の定義

$$X(k) = \frac{1}{\sqrt{N}} \cdot \sum_{n=0}^{N-1} x(n) \cdot e^{-j2\pi kn/N} \quad (22)$$

が知られている[2] が、この場合には、式(14)は、

$$\sum_{k=0}^{N-1} |X(k)|^2 = \sum_{n=0}^{N-1} |x(n)|^2 \quad (23)$$

となり、時間領域のエネルギーと周波数領域のエネルギーは等しくなる。利用する DFT のプログラムがどちらの定義に基づいているかを判断するには、 $x(n) = 1$ を DFT した $X(0)$ の値が DFT 点数 N であれば、式(20)のDFTだと確認できる。

[1] A. オッペンハイム他著、伊達玄訳、デジタル信号処理(上)、オーム社、1977.

[2] 城戸健一、デジタルフーリエ解析 (I), p.95, コロナ社、2007.

修正・変更履歴

08/6/30

- ・インパルス信号(V 1.1): 表現の修正
- ・量子化雑音のパワー(V 1.1): 表現の修正

08/8/20

- ・ 1.1 V1.2 「インパルス応答と周波数特性」の項
表現の改訂
- ・ 2.1 V1.2 図の説明追加、など
- ・ 次の3項を追加
「2.2 量子化雑音の周波数スペクトル」
「3.1 一般的な周波数パワースペクトルの求め方」
「3.2 周波数スペクトル表示の正規化について」

用語

信号の「パワー」: 信号の「2乗平均値」